

ラット後根神経節細胞の突起形成期における形態変化

1. 発生初期における *In Vivo* 及び *In Vitro* での観察

二 宮 孝 文

札幌医科大学解剖学第1講座（主任 高橋杏三 教授）

Morphological Changes of Rat Dorsal Root Ganglion Cells in the Process-forming Period

I. Observations *In Vivo* and *In Vitro* in Early Stages of Development

Takafumi NINOMIYA

Department of Anatomy (Section 1), Sapporo Medical College
(Chief : Prof. K. Takahashi)

Rat dorsal root ganglia in early stages of development were digested with trypsin to remove the connective tissues. Then dissociated ganglion cells *in vivo* and *in vitro* were observed with light- and scanning electron microscopes to clarify the transforming process from bipolar to pseudounipolar cells.

1. At the prenatal stage from the 13th to 16th day, about 70% of all ganglion cells were bipolar. After the 17th day of the prenatal stage, the population of pseudounipolar cells had increased to about 65% on the 17th day and to about 90% after the 18th day. However, about 5% of ganglion cells were still bipolar in the 1-day postnatal rat. This transforming process of the ganglion cells was confirmed with the scanning electron microscope by observing dissociated ganglion cells.

2. When the dissociated ganglion cells were seen *in vitro*, the cells yielded two or more processes at the early stage of culture and the processes made networks between the different cells. Bell-shaped bipolar cells were confirmed in culture by the scanning electron microscope, but no further transformation was observed due to fibroblast proliferation. However, when silver impregnation was used, complete unipolarized ganglion cells were observed. On the other hand, when fibroblasts were inhibited in long-term culture, no pseudounipolar cells were seen in light- and scanning electron microscopy. This probably means that the three-dimensional space, which contain fibroblasts, is needed for the transformation from bipolar cells to pseudounipolar cells.

3. According to successive observation by light- and scanning electron microscopes *in vivo* and *in vitro*, unipolarization of the dorsal root ganglion cells seemed not due to the fusion of the two processes but due to the elongation of the cell body near the approaching two processes.

(Received May 7, 1985 and accepted June 10, 1985)

Key words: Cell culture, Cell transformation, Dorsal root ganglion, Rat, Unipolarization

1 緒 言

後根神経節* (DRG) の細胞は成熟した脊椎動物で

は単極細胞であり、細胞体から伸びた1本の突起が2方向に分枝して中枢側、末梢側へと伸びる偽単極 (pseudounipolar) というユニークな形態をとっている。

* Nomina Anatomica¹⁾によれば Ganglion spinale (脊髓神経節) が正式名称であるが、一般には Dorsal root ganglion (後根神経節) が慣用されている。

しかし、発生初期における DRG 細胞は双極細胞であり、分化が進むにつれて偽単極細胞に変化する。このこと自体は 100 年以上も前から渡銀法などを用いた神経組織学的技術 (neurohistological techniques) によって光線顕微鏡 (光顕) で認められてきた²⁻⁶⁾。現在までに DRG 細胞やそれに付随する外套細胞などについては、光顕や透過型電子顕微鏡 (電顕) を用いての詳細な研究がされているが⁷⁻¹³⁾、その突起形成の詳細についての報告、とくに近年の組織学的技術を用いての研究は少ない。最近になって Matsuda and Uehara¹⁴⁾ は、トリプシン-塩酸処理法^{15,16)}によりラット DRG の結合組織を取り去り、胎生期における突起形成を走査型電顕で観察している。しかしながら、発生初期での双極細胞から偽単極細胞へ分化する形態変化とそのメカニズムについては、まだ不明な点が多い。

今回、著者はその形態変化探求の第 1 報として、発生各時期における分離 DRG 細胞の形態変化を走査型電顕で観察した。また同時期における DRG 細胞を培養系に移し、双極細胞から偽単極細胞へと変化する神経突起を経時的に観察した。

2 実験方法

2.1 In vivo における DRG 細胞の観察

材料には胎生 13 日から 1 日おきに 20 日目までと新生仔 (生後 1 日) の Sprague-Dawley ラットを各時期ごとに約 12 匹用い、実体顕微鏡下で DRG (とくに胸部 DRG) を摘出し、周囲の結合組織をできるだけ除去したのち、0.25% トリプシン (37°C) で 15~30 分間処理した。ついでミキサーを用い、細胞突起をこわさない程度に攪拌し、DRG 細胞を分離細胞として、2.5% グルタルアルデヒドで固定した。一方、バイアルの底に poly-L-lysine (Sigma 社) を塗布したメタルプレート (応研) を置き、固定液中の分離細胞をメタルプレート上に落として遠沈 (800 rpm, 5 分間) したのち 1 時間静置させ、メタルプレートごと通常の脱水操作を行ない臨界点乾燥を行なった。ついで白金・パラジウム蒸着後、走査型電顕 (日立 S-430) で観察した (Fig. 1)。

2.2 In vitro における DRG 細胞の観察

In vivo と同時期の DRG を無菌的に摘出し、0.25% トリプシンで DRG 細胞を分離したのち、Bunge *et al.* の方法¹⁷⁾を用いて培養を行なった。培養は CO₂ インキュベーター内 (37°C, 5% CO₂, 95% Air) で行ない、培養液には B600 medium¹⁷⁾ (Eagle's MEM 60 ml, 9-day chick embryo extract 10 ml, human placental serum 20 ml, 20% glucose 3 ml, 200 mM

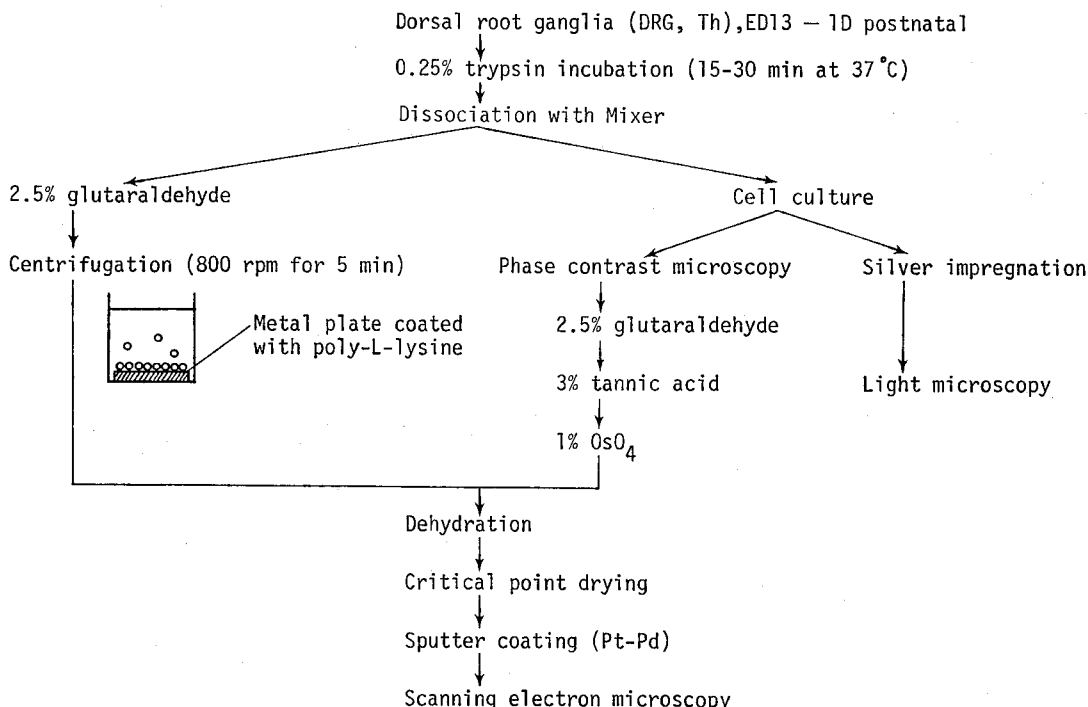


Fig. 1 Experimental procedure used for *in vivo* and *in vitro* observations in this study.

L-glutamine 0.7 ml, nerve growth factor 50 ng/ml を用いた。また、線維芽細胞の増殖をおさえた培養では、CF medium^{18,19)} (Eagle's MEM 82 ml, human placental serum 5 ml, 0.2 M KCl 10 ml, 20% glucose 3 ml, 200 mM L-glutamine 0.8 ml, nerve growth factor 50 ng/ml, fluorodioxy uridine 10⁻⁵ M, cytocin arabinoside 10⁻⁵ M) を培養開始後 1 週間使用し、その後は B 600 medium を使用した。

培養開始後 2 時間から 28 日まで分離 DRG 細胞を経的に培養倒立顕微鏡 (Nikon TED) で観察した。また同時に、走査型電顕観察のために、材料を 0.1 M リン酸緩衝液 (pH 7.4) で 3 回洗浄後、2.5% グルタルアルデヒドで 1 時間固定し、3% タンニン酸で 2 時間、さらに 1% オスマウム酸で 1 時間固定を行なった²⁰⁾。固定された材料は通常の脱水操作を経て臨界点乾燥を行ない、白金・パラジウム蒸着後、走査型電顕で観察した。また培養 7 日以降で線維芽細胞の増殖により走査型電顕での観察が不可能となったものについては、Bodian-Otsuka 変法²¹⁾による渡銀染色を行なった (Fig. 1)。

3 実験結果

3.1 In vivo における DRG 細胞の観察

発生各時期における分離 DRG 細胞を Matsuda and Uehara の形態分類¹⁴⁾にしたがって観察し、その出現頻度を求めた (Table 1)。すなわち、3 本以上の突起をもつた多極細胞 (multipolar cell), 紡錐形をした双極細胞 (spindle-shaped bipolar cell), 片方の細胞質があく

らみ突起を出す角度が 90 度以上の双極細胞 (eccentric bulged bipolar cell), ベル状で突起を出す角度が 90 度以内の双極細胞 (bell-shaped bipolar cell), 細胞体から出る 1 本の突起が 2 つに分枝するまでの長さが細胞体の直径より短い单極細胞 (short-stem unipolar cell) および長い 1 本の突起をもつた单極細胞 (long-stem unipolar cell) の 6 型である (Fig. 2)。

DRG 細胞は、胎生 13~16 日では双極細胞が全体の約 70% を占めており、とくに胎生 13, 14 日では spindle-shaped bipolar cell (Fig. 3a), および eccentric bulged bipolar cell (Fig. 3b) が多く出現した。胎生 15, 16 日では bell-shaped bipolar cell (Figs. 3c, d) が多い。胎生 16, 17 日から、单極細胞 (short- and long-stem unipolar cells, Figs. 3e, f) の増加がみられ、胎生 18~20 日では約 90% 以上が单極細胞である。また生後 1 日の新生仔においては、ほとんどが单極細胞であるが、まだわずかにベル状の双極細胞が認められ、この時期には单極化が完了していない。多極細胞については、今回の実験では胎生 13 日にわずかにみられただけでそれ以後の時期では認められなかった。

3.2 In vitro における DRG 細胞の観察

発生各時期での DRG 細胞をトリプシンで分離細胞として培養し、位相差顕微鏡および走査型電顕で観察すると、双極および单極の突起をもつた細胞は、培養を開始して 2 時間以内に突起が消失し、細胞は球形をなしている (Figs. 4a, b)。培養 4~6 時間後、細胞体から再び突起の出現がみられ、その突起は 2 本またはそれ以上であった。しかし、この突起の出現するまでの培養時間は、採取した DRG の胎生時期によって多少異なり、発

Table 1 Percentages of cell types at successive stages of development in rat DRG.

Cell type \ Stage(day)	Embryonal								Postnatal	
	13	14	15	16	17	18	19	20	1	
Multipolar	0.6 (2)	—	—	—	—	—	—	—	—	—
Spindle-shaped bipolar	18.7 (64)	4.3 (12)	3.4 (6)	—	1.8 (5)	—	—	—	—	—
Eccentric bulged bipolar	43.9 (150)	41.5 (117)	33.3 (59)	20.0 (66)	13.1 (36)	0.9 (3)	2.7 (6)	—	—	—
Bell-shaped bipolar	26.9 (92)	33.0 (93)	42.5 (75)	45.9 (151)	20.1 (55)	9.1 (29)	4.6 (10)	7.3 (16)	4.8 (11)	
Short-stem unipolar	6.7 (23)	10.6 (30)	6.8 (12)	13.1 (43)	16.8 (46)	12.7 (40)	12.3 (27)	11.0 (24)	12.8 (30)	
Long-stem unipolar	3.2 (11)	10.6 (30)	14.1 (25)	21.0 (69)	48.2 (132)	77.3 (246)	80.4 (176)	81.8 (178)	82.4 (195)	
(n) : counted number	(342)	(282)	(177)	(329)	(274)	(318)	(219)	(218)	(236)	

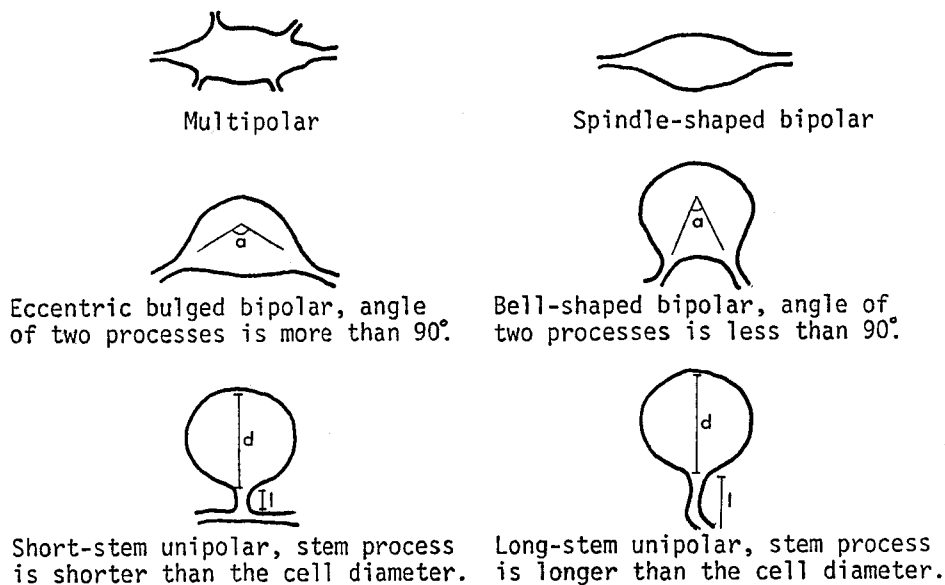


Fig. 2 Types of rat DRG cells at successive stages (by Matsuda and Uehara¹⁴⁾).

生時期の早い細胞ほど突起は早く出現した。

培養が進むにつれて、DRG 細胞は、2本以上の突起をさらに伸ばし、培養 24 時間以降では、細胞間で突起の network をつくるものが多く認められた(Fig. 4)。また 2 本の突起をもつ双極細胞では、細胞体の形状は、培養 6 時間では spindle-shaped bipolar cell (Fig. 5a) であるが、20 時間後には eccentric bulged bipolar cell (Fig. 5b) がみられ、24 時間後では bell-shaped bipolar cell (Fig. 5c) であることを観察することができた。しかし、その後は培養日数を重ねても、単極細胞まで分化したものはとらえられなかった。さらに、培養 1 週間を経たころから、線維芽細胞の増殖のために走査型電顕での DRG 細胞の観察は不可能となった。そこで、この培養材料に Bodian-Otsuka の渡銀染色を行なったところ、単極細胞 (short- and long-stem unipolar cells) を認めることができた(Figs. 6a, b, c)。また、双極細胞 (Figs. 6d, e) および 3 本以上の突起を有する多極細胞 (Fig. 6f) も認められた。

そこで次に線維芽細胞の増殖をおさえた培養法で長期培養を行ない、同様に走査型電顕で観察したが、bell-shaped bipolar cell までしかみられず、単極細胞まで分化したものは認められなかった。

4 考 察

脊椎動物の DRG 細胞の突起形成については、古くから主として渡銀法などにより、多くの研究者によって観察されている²⁻⁶⁾。発生初期における DRG 細胞は紡

錐形の細胞体とその両端より 2 本の突起を出すいわゆる双極細胞であるが、分化の進展にともない偽单極細胞へと変化する。細胞体から出る 2 本の突起が 1 本になる経過について、現在出版されている内外の組織学教科書は、入手され得たもののすべて²²⁻³⁴⁾が 2 本の突起の融合による单極化として記載している。これに対して、Tennyson^{8,10)}と Pannese^{9,12)}は渡銀染色や透過型電顕を用い、細胞体の伸長による单極化を唱えているが、方法論的にもまだ不明な点が多い。

4・1 In vivo における DRG 細胞の観察

最近に至り、Matsuda and Uehara¹⁴⁾は胎生期におけるラット DRG の結合組織をトリプシン-塩酸処理法^{15,16)}により除去し、走査型電顕を用いて観察しているが、双極細胞は胎生期のみに認められ、新生仔の細胞はすべて单極化していた。これを今回の著者の実験結果と比較すると、in vivo のラット DRG では、胎生 13 日から 16 日では双極細胞が多く約 70% を占め、胎生 18 日以降では单極細胞が 90% 以上を占めるようになった。また生後 1 日の新生仔においても双極細胞(とくに bell-shaped bipolar cell)が多少認められ、单極化は完了していない。この点についての著者と Matsuda and Uehara の結果の違いについては、DRG 細胞を分離細胞として観察した著者の場合と、DRG の表面のみを観察している Matsuda and Uehara の結果の差と考えられる。すなわち DRG の表面には分化の進んだ細胞が多く、中心部には分化の遅れた細胞があるものと考えられる。一方、成熟した脊椎動物(ネコ、イヌ、家兔、ウ

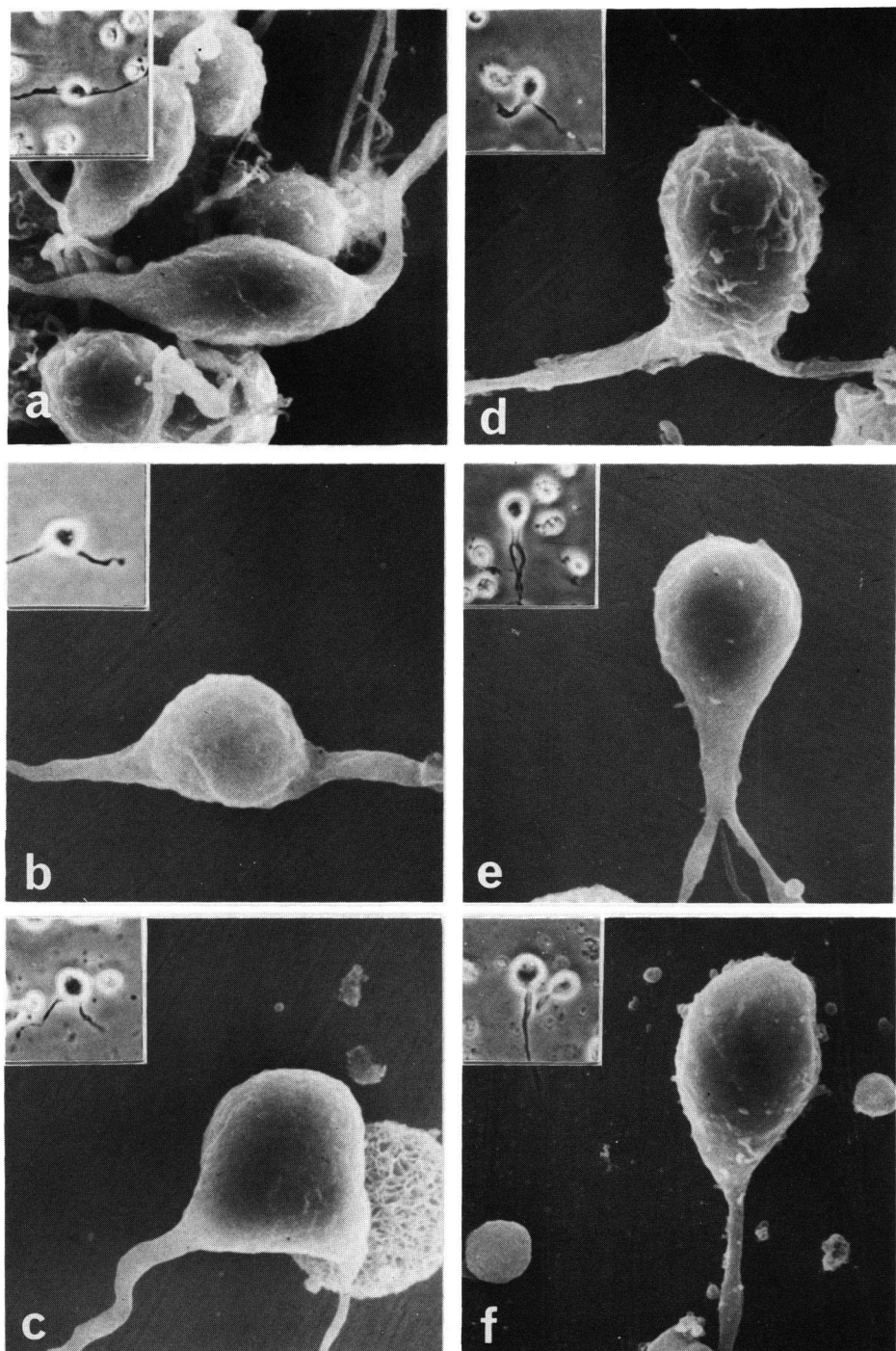


Fig. 3 Scanning electron micrographs of developing cell types of rat DRG cells *in vivo*. Each inset photograph is phase contrast micrograph corresponding to the scanning electron micrograph. a: Spindle-shaped bipolar cell; b: Eccentric bulged bipolar cell; c: Bell-shaped bipolar cell; d: Bell-shaped bipolar cell prior to becoming unipolar cell; e: Short-stem unipolar cell; f: Long-stem unipolar cell. a-f $\times 2,700$ (Inset $\times 450$).

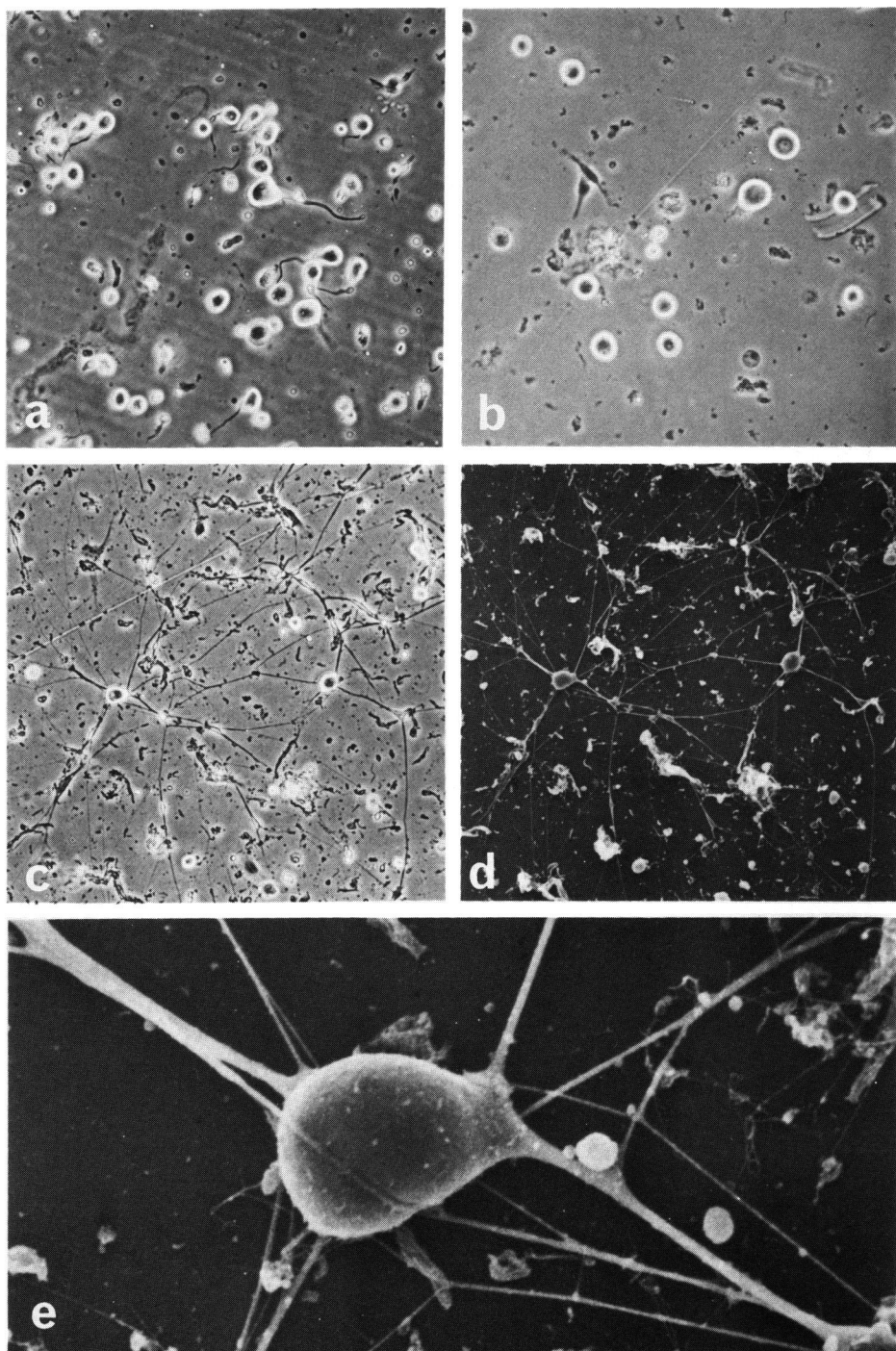


Fig. 4 Developing process of dissociated DRG cells in early stages of culture. a: Phase contrast micrograph at the beginning of culture. Some of the cell processes are observable. $\times 450$. b: 2h culture. Cell processes disappear at this stage. $\times 450$. c: 24h culture. Cultured cells protrude two or more processes and make process-network. $\times 330$. d: Micrograph of specimen c observed by scanning electron microscope. $\times 350$. e: Enlarged scanning electron microscopic view of d. $\times 3,000$.

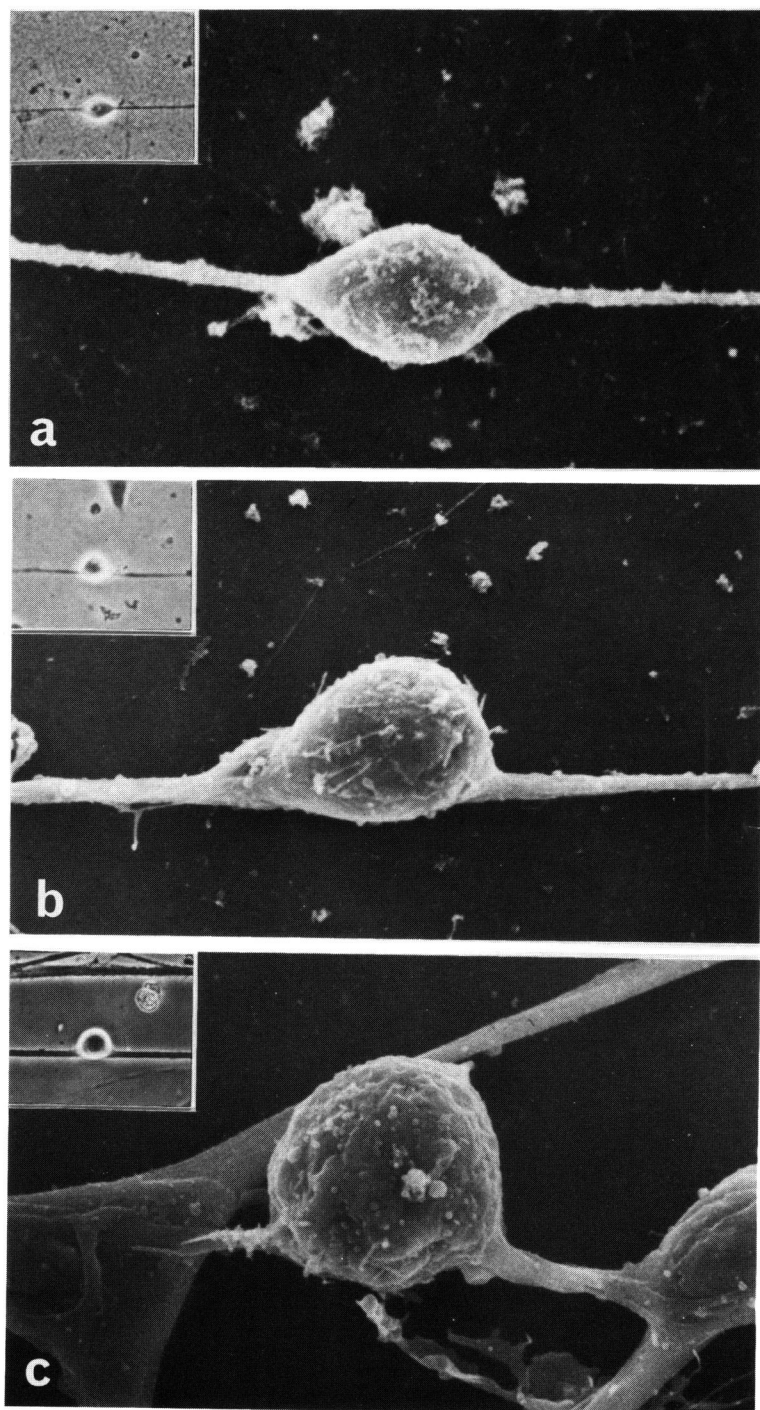


Fig. 5 Scanning electron micrographs of dissociated DRG cells in culture. Each inset photograph is phase contrast micrograph corresponding to the scanning electron micrograph. a: 6h culture. Spindle-shaped bipolar cell; b: 20h culture. Eccentric bulged bipolar cell; c: 24h culture. Bell-shaped bipolar cell. a-c $\times 2,800$ (Insets $\times 450$).

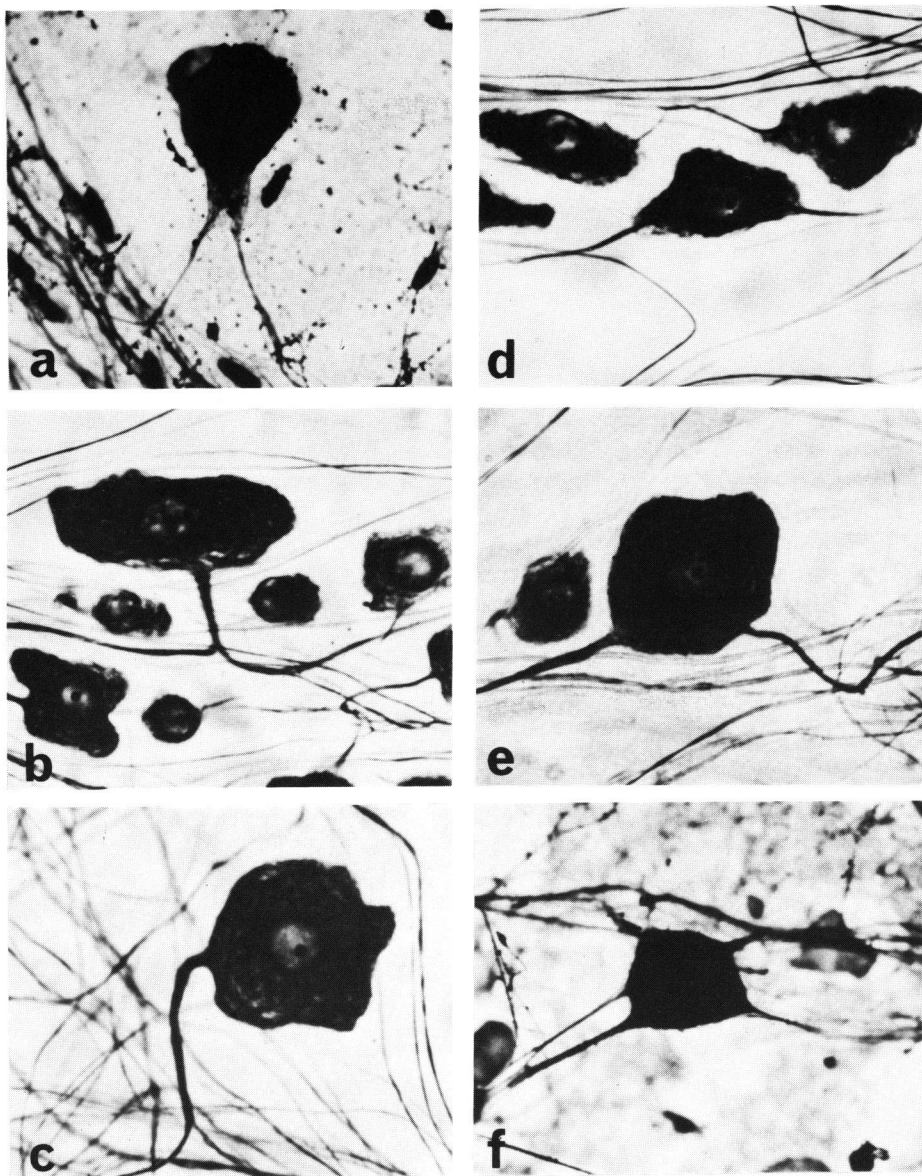


Fig. 6 Photomicrographs of silver-impregnated long-term (27-day) culture cells. a: Short-stem unipolar cell whose process consisted of cell body elongation; b: Short-stem unipolar cell; c: Long-stem unipolar cell; d: Eccentric bulged bipolar cell; e: Bell-shaped bipolar cell; f: Multipolar cell. a-f $\times 600$.

シ)の脳脊髄神経節においても双極細胞の存在を認められた報告があり³⁵⁻³⁹⁾、双極細胞のすべてが偽単極細胞へ分化するとする説⁴⁰⁾の他に、これらの細胞の分化は別々のものであるとの見方^{41,42)}もあるが、一般的には前者の考え方をとる人が多い。

また DRG に出現する多極細胞やいわゆる有窓型細胞については、ヒト胎児において、とくに第 2, 3 頸髄

DRG、第 2, 3, 5 腰髄 DRG および仙髄 DRG に多く存在しているといわれる⁴³⁾。今回の観察結果では、胎生 13 日で多極細胞をわずかに認めただけであり、これは、動物は異なるが、摘出部位が胸髄 DRG で、多極細胞の少ないことと関係しているのであろう。ちなみに、この多極細胞は交感性の神経細胞であるとの見方が強い⁴⁴⁻⁴⁶⁾。

4・2 *In vitro* における DRG 細胞の観察

分離 DRG 細胞は、培養初期で 2 本またはそれ以上の突起をのばし、細胞間で network をつくるようになる。その後 2 本の突起を出した双極細胞は、その突起が徐々に近づきベル状の双極細胞となつたが、それ以後は線維芽細胞の増殖により走査型電顎での観察は不可能となつた。そこで渡銀染色を行なつたところ、偽単極細胞に至るまで分化した細胞を認めることができた。走査型電顎での観察をさらに伸ばすため、線維芽細胞の増殖をおさえ培養を行なつたものでは、ベル状の双極細胞までの観察が可能であったが、偽単極細胞まで分化したもののは認められなかつた。このことから、DRG 細胞が双極細胞から偽単極細胞へ分化するためには、Peterson and Murray¹⁷⁾ が鶏胚の DRG 細胞を用いた実験で指摘しているように、線維芽細胞の増殖による立体的空間が必要とされるのであろう。

4・3 突起形成への形態変化のまとめ

以上のように、主として走査型電顎および渡銀染色による観察結果を総合すると、DRG 細胞の単極化は 2 本の突起の癒合によって起こるというよりも、細胞体の 2 本の突起部分が次第に接近し、次に細胞体の伸長によって突起の単極部分ができるものと考えられる。

今後は、胎生各時期における DRG の透過型電顎による観察を行ない、とくに突起の起始部における微細構造を観察することにより、さらに単極化のメカニズムを解明する予定である。

5 結 論

ラット発生初期における後根神経節 (DRG) 細胞の結合組織を酵素消化法により取り去り、分離した DRG 細胞を *in vivo* および *in vitro* で観察し、双極細胞から偽単極細胞へ分化する経過を光顎および走査型電顎で観察した。

1. 胎生期において胎生 13 日から 16 日までは双極細胞が多く約 70% を占めるが、胎生 17 日以降では偽単極細胞の出現が多くなり、胎生 17 日で 65%，18 日以降では約 90% に達する。しかし、生後 1 日の新生仔においても約 5% の双極細胞の存在が認められ単極化は完了していなかつた。以上の双極細胞から偽単極細胞へ移行する像を走査型電顎でとらえることができた。

2. 分離 DRG 細胞を培養下で観察すると、培養初期には 2 本以上の突起を出し、細胞間で network をつくる。走査型電顎の観察では偽単極細胞に近い細胞 (bell-shaped bipolar cell) まで観察できた。また培養 7 日を経たものでは、線維芽細胞の増殖により DRG 細胞の

走査型電顎での観察は不可能となつたが、渡銀染色を用いると、完全に単極化した細胞を認めることができた。線維芽細胞の増殖をおさえた長期培養では、光顎および走査型電顎においても偽単極細胞は認められなかつた。したがつて、双極細胞から偽単極細胞への分化には、線維芽細胞を含む立体的空間が必要と思われた。

3. *In vivo* および *in vitro* での光顎および走査型電顎による経時的な観察によると、DRG 細胞の単極化は、2 本の突起の癒合で起こるというよりも、細胞体の伸長によって起こるものと考えられる。

稿を終えるにあたり、御指導、御校閲下さいました解剖学第 1 講座、高橋杏三教授に深謝致します。またヒト胎盤血清を御提供下さつた小六産婦人科病院院長、小六義久博士に深く感謝致します。

本研究は昭和 59 年度文部省科学研究費（奨励研究 A, No. 59770052）の補助によって行なわれた。

文 献

- Subcommittees of the International Anatomical Nomenclature Committee ed.: Nomina Anatomica, 5th ed., A76, Williams and Wilkins, Baltimore•London (1983).
- Hiss, N.: Zur Geschichte des menschlichen Rückenmarkes und der Nervenwurzeln. Abhandlungen der Sachsischen Akademie der Wissenschaften. (Leipzig) **13**, 479–513 (1886).
- Cajal, S. Ramón y: Sur l'origine et les ramifications des fibres nerveuses de la moelle embryonnaire. Anat. Anz. **5**, 85–95 (1890).
- Retzius, G.: Zur Kenntnis des centralen Nervensystems; quoted by Scharf J. H. In: v. Möllendorff's Handbuch der mikroskopischen Anatomie des Menschen. IV, 1, Sensible Ganglien, Springer, Berlin•Göttingen•Heidelberg (1891).
- Lenhossek, M.: Beobachtungen an den Spinalganglien und dem Rückenmark von Pristurus-embryonen. Anat. Anz. **7**, 519–539 (1892).
- Cajal, S. Ramón y: Die Struktur der sensiblen Ganglien des Menschen und der Tiere. Ergeb. Anat. Entwicklungsgesch. **16**, 177–215 (1907).
- Dogiel, A. S.: Der Bau der Spinalganglien des Menschen und der Säugetiere. **157**, Gustv Fisher, Jena (1908).
- Tennyson, V. M.: Electron microscopic study of the developing neuroblast of the dorsal root ganglion of the rabbit embryo. J. Comp. Neurol.

- 124, 267-318 (1965).
9. Pannese, E.: Electron microscopical study on the development of the satellite cell sheath in spinal ganglia. *J. Comp. Neurol.* **135**, 381-422 (1969).
10. Tennyson, V. M.: The fine structure of the axon and the growth cone of the dorsal root neuroblast of the rabbit embryo. *J. Cell Biol.* **44**, 62-79 (1970).
11. Lawson, S. N., Caddy, K. W. T. and Biscoe, T. J.: Development of rat dorsal root ganglion neurones. Studies of cell birthdays and changes in mean cell diameter. *Cell Tissue Res.* **153**, 399-413 (1974).
12. Pannese, E.: The histogenesis of spinal ganglia. *Adv. Anat. Embryol. Cell Biol.* **47**, 1-97 (1974).
13. Lieberman, A. R.: Sensory ganglia. In: Landon, D. N. ed.: *The Peripheral Nerve*. 188-278, Chapman and Hall, London (1976).
14. Matsuda, S. and Uehara, Y.: Prenatal development of the dorsal root ganglia. A scanning electron-microscopic study. *Cell Tissue Res.* **235**, 13-18 (1984).
15. Uehara, Y. and Suyama, K.: Visualization of the adventitial aspect of vascular smooth muscle cells under the scanning electron microscopy. *J. Electron Microsc.* **27**, 157-159 (1978).
16. Desaki, J. and Uehara, Y.: The overall morphology of neuromuscular junctions as revealed by scanning electron microscopy. *J. Neurocytol.* **10**, 101-110 (1981).
17. Bunge, R. P., Bunge, M. B. and Cochran, M.: Some factors influencing the proliferation and differentiation of myelin forming cells. *Neurology (Minneapolis)* **28**, 59-67 (1978).
18. Wood, P. M.: Separation of functional Schwann cells and neurons from normal peripheral nerve tissue. *Brain Res.* **115**, 361-375 (1976).
19. Brockes, J. P., Fields, K. L. and Raff, M. C.: Studies on culture rat Schwann cells. I. Establishment of purified populations of peripheral nerve. *Brain Res.* **165**, 105-118 (1979).
20. Katsumoto, T., Naguro, T., Iino, A. and Takagi, A.: The effect of tannic acid on the preservation of tissue culture cells for scanning electron microscopy. *J. Electron Microsc.* **30**, 177-182 (1981).
21. Otsuka, N.: Histological and ontogenetic studies on Mauthner's cells in fish. *Z. Zellforsch.* **58**, 33-50 (1962).
22. 石澤政男: 組織学提要. 第1巻, 4版, 192-193, 日本医書出版, 東京・京都 (1945).
23. 尾持昌次, 永田哲士: 最新組織学. 146, 南江堂, 東京・京都 (1965).
24. 山本敏行: 基準組織学. 94, 南江堂, 東京・京都 (1966).
25. Greep, R. O.: *Histology*. 2nd ed., 267-268, McGraw-Hill, New York・London・Sydney・Toronto (1966).
26. Junqueira, L. C. and Carneiro, J.: *Basic Histology*. 3rd ed., 154, Lange Medical Publications, California (1971).
27. Warwick, R. and Williams, P. L.: *Gray's Anatomy*. 35th ed., 130, Longman, Norwich (1973).
28. Bloom, W. and Fawcett, D. W.: *A Textbook of Histology*. 10th ed., 348, Saunders, Philadelphia・London・Toronto (1975).
29. 伊藤 隆: 組織学. 17版, 99, 南山堂, 東京 (1977).
30. Bargmann, V. M.: *Histologie und mikroskopische Anatomie der Menschen*. 174-175, Georg Thieme Verlag, Stuttgart (1977).
31. William, J. K. and Cutt, J. H.: *Concise Text of Histology*. 139, Williams and Wilkins, Baltimore・London (1981).
32. 藤田尚男, 藤田恒夫: 標準組織学(総論). 2版, 226, 医学書院, 東京・大阪 (1982).
33. 渡辺 皓: 脊髄神経節. 小川和朗, 鈴木昭男, 清水眞, 永野俊雄, 橋本一成, 橋本正淑, 山田英智, 山元寅男, 渡辺陽之輔 編集: 人体組織学(神経), 410-420, 朝倉書店, 東京 (1984).
34. Leeson, C. R., Leeson, T. S. and Paparo, A. A.: *Textbook of Histology*. 5th ed., 202, Saunders, Philadelphia・London・Toronto・Mexico City・Rio de Janeiro・Sydney・Tokyo (1985).
35. Takeda, G.: Beiträge zur histologischen Kenntnis des Nervus trigeminus. III Mitt., *Fol. Anat. Jpn.* **2**, 311-324 (1924).
36. Takeda, G.: Beiträge zur histologischen Kenntnis des Nervus trigeminus. IV Mitt., *Fol. Anat. Jpn.* **3**, 17-29 (1925).
37. 楢 武雄: 猫脊髄神経節における2及多極神経節細胞. 弘前医学 **8**, 416-430 (1957).
38. 楢 武雄, 岩井清之助, 米沢 稔, 井沼洋三: 家兔(*Lepus cuniculus*)脊髄神経節における2及多極神経節細胞. 弘前医学 **8**, 623-635 (1957).
39. 西川史郎, 楢 武雄, 岩井清之助, 白取省吾: 犬(*Canis familiaris*)脊髄神経節における2及多極神経節細胞. 弘前医学 **8**, 611-622 (1957).
40. Cajal, S. Ramón y: Asociacion del metodo del nitrato de plata con el embrionario. Para el estudio de los focos motores y sensitivos. *Trab. Lab. Invest. Biol. Univ. Madrid* **3**, 65-96 (1904).

41. Mikami, Sh.: Spinal ganglia in human embryo, especially, in its earlier stage. *Tohoku J. Exp. Med.* **58**, 367-380 (1953).
42. 濱戸八郎：人の知覚。22-26，医学書院，東京・大阪(1957)。
43. 米沢 稔：7ヵ月人胎児脊髄神経節における2及び多極神経節細胞。弘前医学 **14**, 479-493 (1962).
44. Kiss, F.: Sympathetic elements in the cranial and spinal ganglia. *J. Anat.* **66**, 488-498 (1931-2).
45. Bacsich, P. and Wyburn, G. M.: Formalin-sensitive cells in spinal ganglia. *Quart. J. Microsc. Sci.* **94**, 89-92 (1953).
46. Parfianowicz, J., Hawrylko, S., Pietrzak, J. and Kmiec, B.: Morphology and cytochemistry of the nerve-cells of spinal ganglia. *Folia Morphol. (Warsaw)* (Engl. Transl.) **30**, 475-484 (1971).
47. Peterson, E. R. and Murray, M. R.: Myelin sheath formation in cultures of avian spinal ganglia. *Am. J. Anat.* **96**, 319-355 (1955).

別刷請求先：

(〒060) 札幌市中央区南1条西17丁目

札幌医科大学解剖学第1講座 二宮孝文